

doi: 10.13241/j.cnki.pmb.2018.02.010

microRNA-151-5p 在肾血管性高血压大鼠血管内皮细胞中的表达及意义*

冯月¹ 陈珍珍¹ 胡海² 于慧³ 王占黎^{3△}

(1 包头医学院研究生学院 内蒙古 包头 014030; 2 包头医学院病理生理学教研室 内蒙古 包头 014030;

3 内蒙古自治区疾病相关生物标志物重点实验室,包头医学院分子医学研究所,包头医学院第二附属医院 内蒙古 包头 014030)

摘要 目的:研究 microRNA-151-5p(miR-151-5p)在两肾一夹(2K1C)肾血管性高血压大鼠中的表达,并为 miR-151-5p 参与调节血管内皮细胞功能提供理论依据。**方法:**建立 2K1C 大鼠模型,获得胸主动脉血管内皮,采用荧光定量 PCR 技术检测血管内皮细胞中 miR-151-5p 的表达,通过数据库及生物信息学软件预测 miR-151-5p 的靶基因,并对靶基因进行 GO 富集和 KEGG pathway 分析。**结果:**与假手术组大鼠相比较,实验组大鼠胸主动脉血管内皮细胞 miR-151-5p 的表达量显著升高 ($P<0.05$)。GO 分析显示 miR-151-5p 的靶基因参与蛋白加工水解、Notch 受体加工等多种生物学功能 ($P<0.01$);KEGG pathway 分析显示 miR-151-5p 的靶基因参与 Notch 信号通路、血管平滑肌收缩、代谢途径、细菌感染和 RNA 转运等信号通路。**结论:**2K1C 大鼠血管内皮细胞中 miR-151-5p 表达升高,可能通过对其靶基因 APH1A 的调控参与血管内皮细胞功能调节。

关键词:肾血管性高血压;miR-151-5p;靶基因**中图分类号:**R-33; R544.1 **文献标识码:**A **文章编号:**1673-6273(2018)02-239-04

Expression and Significance of MicroRNA-151-5p in the Vascular Endothelial Cells of Renovascular Hypertensive Rats*

FENG Yue¹, CHEN Zhen-zhen¹, HU Haif², YU Hui³, WANG Zhan-li^{3△}

(1 Graduate School; 2 Department of Pathophysiology; 3 The Inner Mongolia Autonomous Region Key Laboratory of disease-related biomarkers, Institute of Molecular Medicine of Baotou Medical College,

The Second Affiliated Hospital of Baotou Medical College, Baotou, Inner Mongolia, 014030, China)

ABSTRACT Objective: To study the expression of microRNA-151-5p (miR-151-5p) in two kidney one clip (2K1C) renovascular hypertensive rats, and provide a theoretical guidance for miR-151-5p to participate in the regulation of vascular endothelial cell function. **Methods:** 2K1C rat model was established to obtain the endothelium of thoracic aorta. The expression of miR-151-5p in vascular endothelial cells was detected by fluorescent quantitative PCR. We also predicted target genes of miR-151-5p by database and bioinformatics software. Furthermore, we analyzed the function of target gene by KEGG and GO pathways. **Results:** Compared with the sham group, the expression of miR-151-5p in thoracic aorta endothelial cells in experimental group was significantly higher ($P<0.05$). In GO analysis, the target genes of miR-151-5p were enriched in many biological process, such as regulation of protein processing and regulation of Notch receptor processing ($P<0.01$). In KEGG pathway, the target genes of miR-151-5p were involved in Notch signaling pathway, vascular smooth muscle contraction, metabolic pathway, bacterial infection and RNA transport pathway. **Conclusion:** MiR-151-5p expression increased in 2K1C rats, it may regulate the function of vascular endothelial cell by its target gene APH1A.

Key words: Renovascular hypertension; MiR-151-5p; Target gene**Chinese Library Classification(CLC):** R-33; R544.1 **Document code:** A**Article ID:** 1673-6273(2018)02-239-04

前言

MicroRNA (miRNA) 是一种小分子非编码 RNA, 长度约 18-25 个核苷酸, 在转录后水平作用于靶基因, 进而调控基因表达, 参与多种病理生理过程, 包括细胞分化、增殖、生长和凋亡等, 并参与细胞信号转导及机体微环境的调节^[1,2]。鉴于 miRNA

具有较好的稳定性和组织特异性, 其可应用于疾病的诊断、预后评估和治疗。

miR-151 是由 FAK 基因产生, 而后者是编码细胞移动关键信号蛋白的基因^[3]。miR-151 包括 miR-151-3p 和 miR-151-5p, 两者可作用不同的靶基因, 进而发挥不同的生物学作用。研究显示 miR-151 与癌细胞转移和浸润有关, 如肝癌

* 基金项目:国家自然科学基金项目(81460049;81560057)

作者简介:冯月(1992-),硕士研究生,主要研究方向:感染与免疫,E-mail: 245782007@qq.com

陈珍珍(1989-),硕士研究生,主要研究方向:疾病防控,E-mail: 359438056@qq.com

△ 通讯作者:王占黎,博士,教授,主要研究方向:感染与免疫,E-mail: wang.zhanli@hotmail.com

(收稿日期:2017-08-04 接受日期:2017-08-26)

细胞中 miR-151-5p 表达上调，并且与癌细胞的转移显著相关^[4]；而 miR-151-3p 与癌症预后有关^[5]。miR-151-5p 在膀胱癌发生发展过程中起到显著调控通路的作用^[6]，乳腺癌中 miR-151-5p 表达上调，可通过激活 AKT 通路使细胞增殖扩散^[7]。

目前，有关 miR-151-5p 在心血管方面的研究鲜见报道。本研究通过构建 2K1C 大鼠模型，采用荧光定量 PCR 技术检测血管内皮细胞中 miR-151-5p 的表达，通过生物信息学软件预测 miR-151-5p 的靶基因，探讨其对血管内皮细胞功能的影响，以期为高血压血管内皮损伤研究提供理论依据和新思路。

1 材料与方法

1.1 实验材料

1.1.1 实验动物 清洁级 8 周龄雄性 SD 大鼠，购自中国人民解放军军事医学科学院实验动物中心（许可证号：SCXK-（军）2012-0004）。

1.1.2 试剂与仪器 MirVANA miRNA 提取试剂盒、TaqMan MicroRNA Reverse Transcription 逆转录试剂盒、TaqMan Universal PCR Master Mix II 扩增试剂盒及 miR-151-5p、U6 snRNA 引物购自美国 Applied Biosystems 公司。ABI7500 实时荧光定量 PCR 仪购自美国 Applied Biosystems 公司。

1.2 实验方法

1.2.1 实验动物分组及肾性高血压大鼠模型制备 健康清洁级 8 周龄雄性 SD 大鼠，体重 150-170 g，根据体重随机分为 2 组，每组 8 只：假手术组（对照组）和 2K1C 模型组。常规适应性饲养大鼠 1 周后，模型组大鼠左肾动脉中段套上内径为 0.2 mm 的银夹，对照组仅分离大鼠左肾动脉但不进行钳夹。术后 3 天内，给予其青霉素 V 钾片 0.5 万单位 / 天，预防感染。动态关注大鼠状态，每周采用无创鼠尾套管血压仪测定尾动脉收缩压（Systolic blood pressure, SBP），每次测量重复 3 次，取平均值。术后 4 周，2K1C 模型组大鼠血压值较术前血压升高值 ≥ 30 mmHg，提示高血压模型制备成功。

1.2.2 取材 手术干预 4 周后处死两组大鼠共 16 只，取其胸主动脉血管，置于保存液中，-80℃ 保存备用。

1.2.3 荧光定量 PCR 检测主动脉血管内皮中 miR-151-5P 表达量 采用 MirVANA miRNA 提取试剂盒提取总 miRNAs，以 TU1900 紫外分光光度计检测其纯度和浓度。采用 TaqMan MicroRNA Reverse Transcription 逆转录试剂盒将 miRNAs 逆转录为 cDNA，反应体系为 (15 μL): dNTP mix 0.15 μL; Multi-scribe™ RT enzyme 1.00 μL; 10× RT buffer 1.5 μL; RNase Inhibitor 0.19 μL; Nuclease free water 4.16 μL; RT primer 3 μL; miRNA 样品 5 μL (10 ng)。逆转录产物的实时荧光定量扩增采用 TaqMan Universal PCR Master Mix II 试剂盒，以 U6 snRNA 为内参。反应条件按产品说明书步骤操作，每个反应设三个复孔。相对定量反应结果采用 $2^{-\Delta \Delta C_t}$ 方法分析。

1.2.4 靶基因预测及功能分析 采用 MiRanda、TargetScan 和 miRDB 三个在线数据库对 miR-151-5p 进行靶基因预测。将两个在线数据库预测到的 miR-151-5p 靶基因，采用 DAVID 生物信息数据库中的软件进行 GO 富集分析和 KEGG Pathway 富集分析。在 DAVID 软件中设置 Fisher Exact Text 计算 P 值，GO 分析和 KEGG Pathway 分析分别以 $p < 0.01$ 和 $p < 0.05$ 为显著性阈值，说明得到的结果相对于背景具有统计学意义。

1.3 统计学方法

采用 SPSS21.0 软件进行数据分析，计量资料以均数 \pm 标准差 ($\bar{x} \pm s$) 表示，两组间比较采用独立样本 t 检验，以 $P < 0.05$ 为差异具有统计学意义。

2 结果

2.1 两组血压变化的比较

鼠尾无创血压监测结果见表 1。与造模前相比较，假手术组大鼠血压未发生明显改变，差异无统计学意义 ($P > 0.05$)，模型组大鼠血压值较术前血压升高 ≥ 30 mmHg；与假手术组相比，模型组大鼠血压值显著上升，差异具有统计学意义 ($P < 0.05$)。

表 1 两组大鼠血压变化的比较

Table 1 Comparison of the changes of blood pressure between two groups of rats

	Blood pressure (mmHg)	
	Sham-operated group	2K1C model group
At Eight weeks	120.12 \pm 11.95	121.89 \pm 11.11
At Ten weeks	119.69 \pm 18.35	136.35 \pm 16.59
At Twelve weeks	122.08 \pm 7.66	164.77 \pm 27.26*#

Note: compared with the sham operation group,* $P < 0.05$; with the same group before modeling (8 weeks),# $P < 0.05$.

2.2 两组主动脉血管内皮细胞中 miR-151-5p 的表达比较

模型组大鼠主动脉血管内皮细胞中 miR-151-5p 的表达量较假手术组显著上调 ($P < 0.05$)，平均为假手术组的 1.937 倍（图 1）。

2.3 miR-151-5p 的靶基因预测及功能分析

采用 MiRanda、TargetScan、miRDB 预测 miR-151-5p 靶基因，获得的靶基因数分别为 453、459、44。其中，TargetScan、miRDB 预测获得 26 个相同靶基因，分别为 APH1A、SLC24A2、RALGAPA1、N4BP1、MTCH1、CFI、EBP、CORO1B、

PPP1R12B、MOB3B、SLC35F1、POGLUT1、FCER1G、SIPA1L3、TJP2、MAPRE2、GOLPH3L、SPRYD3、USP39、AP3B1、AGFG1、DSG2、SLC12A5、COL4A3BP、EIF1AX、CLEC16A。GO 分析显示，上述 26 个靶基因的生物功能主要富集在细胞膜、细胞质等细胞组件 ($P < 0.01$)，参与蛋白加工水解、Notch 受体加工等多种生物学功能 ($P < 0.01$)。KEGG pathway 分析显示 miR-151-5p 的靶基因参与 Notch 信号通路、血管平滑肌收缩、代谢途径、细菌感染和 RNA 转运等信号通路。miR-151-5p 预测的靶基因 APH1A 参与 Notch 信号通路，见图 2。

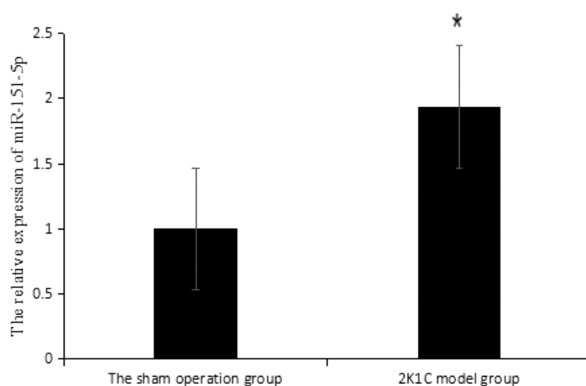


Fig. 1 The relative expression of miR-151-5p in the two groups of rats

Note: compared with the sham operation group, *P < 0.05.

3 讨论

肾性高血压是一种常见的继发性高血压，其病理生理机制十分复杂，免疫-炎症反应在其发生和发展中发挥重要作用^[8]，较原发性高血压更难控制，需进行综合性治疗^[9]。高血压是很多心脑血管疾病的主要诱因，往往造成靶器官严重受损^[10]。在中国，每年死于心血管疾病的人数达300多万，并且其发病率和病死率呈现出逐年上升的趋势^[11]。

本研究制备2K1C肾性高血压大鼠模型，与术前相比，大鼠术后血压升高显著，与高添^[12]的结果一致，提示2K1C模型制备成功。运用Real-time PCR方法检测其胸主动脉内皮细胞中miR-151-5p的表达，模型组大鼠主动脉内皮细胞中

miR-151-5p的表达较假手术组显著升高(P<0.05)，提示其可能参与了肾性高血压血管内皮损伤的调节。近几年研究显示miRNA可通过调控其靶基因的表达参与多种疾病的病理生理过程^[13,14]。

确定miRNA靶基因的方法主要是生物信息学软件预测和生物学实验，两种方法相辅相成，从而进一步研究其功能及意义^[15]。生物信息学预测靶基因结果数量多且假阳性率较高^[15]，因此需实验方法进行验证。靶基因预测软件的基本原理和特征各不相同预测针对部分物种^[16]。本研究通过生物信息学方法进行靶基因预测，选取三个筛选工具，再将两种工具相结合进行联合筛选。无论哪种筛选方法都存在不足，联合筛选将组合求交集，有学者认为这部分基因最有可能是靶基因，也有学者对其持保留意见，认为缩小了筛选范围但不能否定其他结果^[17]。软件预测miR-151-5p的靶基因为APH1A、SLC24A2、RALGAPA1及N4BP1等，并未对靶基因进行实验验证。GO分析进一步显示上述26个靶基因的生物功能主要富集在细胞膜、细胞质等细胞组件，参与蛋白加工水解、Notch受体加工、酶催化活性、肾发育等多种生物学功能。值得注意的是，KEGG pathway分析提示上述靶基因参与Notch信号通路、血管平滑肌收缩、代谢途径、细菌感染和RNA转运等信号通路。有研究显示诱导炎症反应可损伤血管内皮功能，促进高血压的发生发展^[18]。miR-151-5p预测的靶基因参与细菌感染信号通路，可引起炎症反应，并且参与调控血管平滑肌细胞收缩，从而参与高血压发病机制^[19]。结合GO富集和KEGG pathway分析，miR-151-5p预测的靶基因APH1A参与Notch信号通路调节，从而影响血

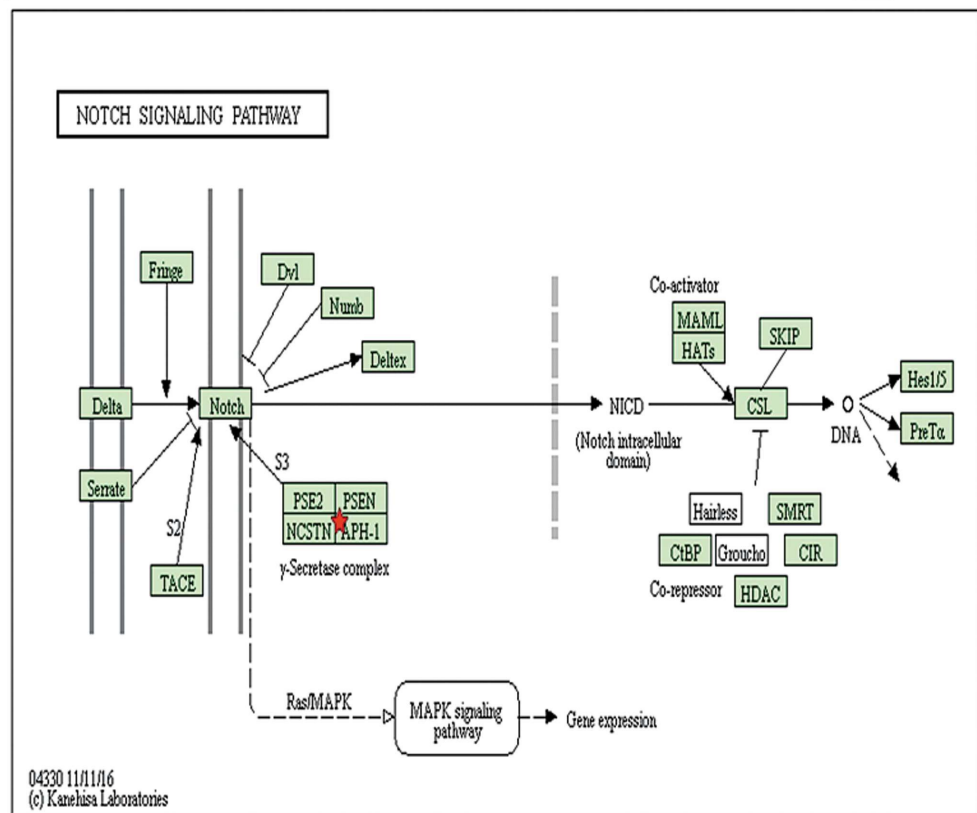


图2 miR-151-5p 靶基因参与调节 Notch 信号通路

Fig. 2 MiR-151-5p target genes are involved in regulating the Notch signaling pathway

Note: target gene; green: Notch signaling pathway.

管内皮功能。已知 Notch 信号通路是进化中高度保守的信号转导通路,可调控血管内皮细胞增殖、分化和凋亡等功能。血管损伤后,Notch 信号通路分子表达变化,引起血管内皮细胞和血管平滑肌细胞的增殖、迁移、抗凋亡等能力发生变化,从而参与血管功能调节^[20]。有研究显示 Notch 信号通路对脂肪间充质干细胞分化为心肌细胞起到正向调控作用^[21],而心肌细胞可以分泌外泌体,在一定条件下,将乳鼠或大鼠心肌细胞系 H9C2 释放外泌体与血管内皮细胞共培养,可发现这些外泌体能诱导内皮细胞增殖和血管生成,还可促进内皮细胞的糖吸收和分解活动^[22]。越来越多证据表明 Notch 信号通路参与炎症和氧化应激,在心脑血管病重影响血管生成、细胞凋亡和疾病进展^[23]。因此,Notch 信号通路可直接或间接地影响血管内皮细胞功能。

综上所述,miR-151-5p 在肾性高血压大鼠血管内皮中表达升高,并可能通过调节 APH1A、SLC24A2、RALGAPA1 及 N4BP1 等靶基因的表达,经 Notch 信号通路参与血管内皮功能的调节。

参考文献(References)

- [1] Nouraei N, Mowla SJ. miRNA therapeutics in cardiovascular diseases: promises and problems[J]. Front Genet, 2015, 30(6): 232
- [2] Guo H, Ingolia NT, Weissman JS, et al. Mammalian microRNAs predominantly act to decrease target mRNA levels [J]. Nature, 2010, 466(7308): 835-840
- [3] Luedde T. MicroRNA-151 and its hosting gene FAK (focal adhesion kinase) regulate tumor cell migration and spreading of hepatocellular carcinoma[J]. Hepatology, 2010, 52(3): 1164-1166
- [4] Ding J, Huang S, Wu S, et al. Gain of miR-151 on chromosome 8q24.3 facilitates tumour cell migration and spreading through downregulating RhoGDIα [J]. Nature cell biology, 2010, 12 (4): 390-399
- [5] McNally M E, Collins A, Wojcik S E, et al. Concomitant dysregulation of microRNAs miR-151-3p and miR-126 correlates with improved survival in resected cholangiocarcinoma [J]. HPB:the official journal of the International Hepato Pancreato Biliary Association, 2013, 15 (4): 260-264
- [6] Xi Hao. Bladder cancer-associated aberrant expression of microRNAs and DNA copy number changes and their biomedical significances [D]. Peking Union Medical College, 2015
- [7] Aure M R, Leivonen S K, Fleischer T, et al. Individual and combined effects of DNA methylation and copy number alterations on miRNA expression in breast tumors[J]. Genome biology, 2013, 14(11): R126
- [8] Caillon A, Schiffrin EL. Role of inflammation and immunity in hypertension: recent epidemiological, laboratory, and clinical evidence[J]. Curr Hypertens Rep, 2016, 18(3): 21
- [9] Cai Guang-yan. Treatment status and Countermeasures of renal hypertension in China [A]. Chinese Medical Association, Chinese Medical Association Kidney Diseases Branch. Chinese Medical Association Kidney Disease Branch 2013 annual academic conference papers compilation [C]. Chinese Medical Association, Chinese Medical Association nephrology branch, 2013: 2
- [10] Viazzi F, Piscitelli P, Giorda C, et al. Association of kidney disease measures with risk of renal function worsening in patients with hypertension and type 2 diabetes [J]. J Diabetes Complications, 2017, 31(2): 419-426
- [11] Liu J, Liu Y, Wang L, et al. The disease burden of cardiovascular and circulatory diseases in China, 1990 and 2010 [J]. Chinese Journal of Preventive Medicine, 2015, 49(4): 315-320
- [12] Gao T. Chrysanthemum morifolium extract improves renovascular hypertension-induced cardiac hypertrophy and its possible mechanisms in rats[D]. Suzhou University, 2016
- [13] Dangwal S, Thum T. MicroRNAs in platelet physiology and pathology[J]. Hamostaseologie, 2013, 33(1): 17-20
- [14] Tutar L, Tutar E, Tutar Y. MicroRNAs and cancer;an overview[J]. Curr Pharm Biotechnol, 2014, 15(5): 430-437
- [15] Chen L F, Zhang J P, Wang M X. High-throughput assays for MicroRNA target genes [J]. Chinese Journal of Biochemistry and Molecular Biology, 2013, 29(03): 207-212
- [16] Wang Z P, Chen H K, Zhang X N, et al. Prediction and functional Analysis of microRNA target genes (review)[J]. Bulletin of Biology, 2016, 51(01): 5-9
- [17] Liu Z Q, Wan F S, Luo D Y. Methods and their online resources for miRNA targets screening [J]. Chinese Journal of Biochemistry and Molecular Biology, 2015, 31(2): 121-127
- [18] Kossmann S, Lagrange J, Jackel S, et al. Platelet-localized FXI promotes a vascular coagulation-inflammatory circuit in arterial hypertension[J]. Sci Transl Med, 2017, 1(9): 375
- [19] Li M, Zhang J. Circulating microRNAs:potential and emerging biomarkers for diagnosis of cardiovascular and cerebrovascular diseases[J]. Biomed Res Int, 2015, 2015: 730535
- [20] Yang Hui, Liu Yu, Li Hui-hu. The relationship between Notch signaling pathway and hypertension [J]. Chinese Journal of Arteriosclerosis, 2011, 19(03): 288
- [21] Ma Ling, Chen Li-yuan, Wang Fei, et al. Effects of Notch signaling pathway on differentiation of adipose derived mesenchymal stem cells into cardiomyocyte [J]. Chinese Journal of Medicine, 2017, 52 (03): 32-35
- [22] Garcia NA, Moncayo-Arlandi J, Sepulveda P, et al. Cardiomyocyte exosomes regulate glycolytic flux in endothelium by direct transfer of GLUT transporters and glycolytic enzymes [J]. Cardiovasc Res, 2016, 109(3): 397-408
- [23] Cai Z, Zhao B, Deng Y, et al. Notch signaling in cerebrovascular diseases[J]. Mol Med Rep, 2016, 14(4): 2883-2898